

УДК 535.343.2; 535 : 548

СПЕКТРЫ ИК ОТРАЖЕНИЯ МОНОКРИСТАЛЛОВ $\text{La}_2\text{CuO}_{4+x}$

А. В. Баженов, В. Б. Тимофеев, З. Фиск,
Т. Н. Фурсова, Д. П. Ремейка

Исследованы ИК спектры отражения света монокристаллом $\text{La}_2\text{CuO}_{4+x}$ в спектральном диапазоне 50—5500 cm^{-1} . Обнаружена анизотропия спектров, свидетельствующая о сильной анизотропии высокочастотной электрической проводимости кристаллов. В спектре возбуждения оптических фононов наряду с известными особенностями обнаружены новые линии, предложена классификация оптических колебаний решетки. Наблюдалась перестройка спектра в области фононов 370 и 445 cm^{-1} при $T_0=220 \pm 5$ К, коррелирующая с антиферромагнитным переходом.

До последнего времени исследования электронных свойств, фононного спектра соединений на основе La_2CuO_4 методом ИК спектроскопии, как правило, проводились на керамических образцах. Поэтому при интерпретации экспериментальных результатов привлекались допущения, правомерность которых может быть установлена в результате исследования монокристаллов. Определенный прогресс был достигнут в работах [1-3], где была обнаружена анизотропия ИК спектров отражения света монокристаллами La_2CuO_4 относительно оси с кристалла, подобная анизотропии спектров La_2NiO_4 [4]. Спектры, исследованные в работах [1-3], для разных кристаллографических ориентаций демонстрировали поведение, характерное для диэлектрического состояния. В настоящее время принято считать, что стехиометрический по составу La_2CuO_4 является диэлектриком (диэлектрик Мотта) [5] из-за сильной локализации носителей на узлах. Допирование Sr, Ba [5], а также нарушение стехиометрического содержания La, O увеличивают число носителей в расчете на элементарную ячейку и в конечном счете приводят к проводимости металлического типа. В этой связи нам представлялось интересным изучить поведение спектров отражения вдоль разных кристаллографических направлений и для разных поляризаций света в монокристаллах с нарушенной стехиометрией кислорода.

В данной работе исследовались спектры отражения монокристаллов $\text{La}_2\text{CuO}_{4+x}$ в диапазоне от 50 до 5500 cm^{-1} (0.006—0.682 эВ), их анизотропия, а также спектры оптических фононов и их трансформация при варьировании температуры от 77 до 300 К. Показано, что спектр отражения света с волновым вектором $\mathbf{q} \perp \mathbf{c}$ (электрический вектор $\mathbf{E} \parallel \mathbf{c}$) имеет диэлектрический характер (проводимость $\sigma(\omega) \rightarrow 0$ на частотах $\omega \rightarrow 0$), тогда как в случае $\mathbf{q} \perp \mathbf{c}$, $\mathbf{E} \perp \mathbf{c}$ и $\mathbf{q} \parallel \mathbf{c}$, $\mathbf{E} \perp \mathbf{c}$ наблюдался существенный вклад свободных носителей в спектр отражения. Установлено, что при $\mathbf{q} \parallel \mathbf{c}$, $\mathbf{E} \perp \mathbf{c}$ общий вид спектра отражения в области фононных возбуждений аналогичен спектру La_2CuO_4 [3], La_2NiO_4 [4], однако подробные исследования в данном диапазоне позволили обнаружить ряд новых линий в спектре. На основе полученных экспериментальных данных и результатов теоретико-группового анализа обсуждается природа линий спектра отражения в области фононных возбуждений. Обнаружена перестройка фононных спектров при $T_0=220 \pm 250$ К, которую мы связываем с влиянием антиферромагнитного перехода на колебательный спектр.

1. Методика эксперимента

Спектры отражения монокристаллов $\text{La}_2\text{CuO}_{4+x}$ исследовались в геометрии, близкой к нормальному отражению, с помощью Фурье-спектрометра. Для изучения температурной зависимости спектров образцы укрепляли на хладопроводе в вакуумной полости проточного криостата. Согласно рентгеноструктурным измерениям, исследовавшиеся монокристаллы при 300 К обладали орторомбической симметрией (точечная группа D_{2h}); параметры элементарной ячейки: $a=5.29 \pm 0.02 \text{ \AA}$, $b=5.34 \pm 0.02 \text{ \AA}$, $c=12.96 \pm 0.02 \text{ \AA}$. Монокристаллы содержали двойники с осью двойникования $\langle 110 \rangle$. Образцы с характерными размерами $2.0 \times 1.5 \times 0.5 \text{ mm}$ имели развитую базисную поверхность (001). При измерении спектров отражения, соответствующих $\mathbf{q} \parallel \mathbf{c}$, исследовалась естественная поверхность выращенного кристалла, а при $\mathbf{q} \perp \mathbf{c}$ поверхность свежеприготовленного скола, параллельная \mathbf{c} . Так как поверхность скола имела вид хаотичного набора террас с характерным размером порядка 100 мкм, измерения спектров проводили с помощью ИК микроскопа.

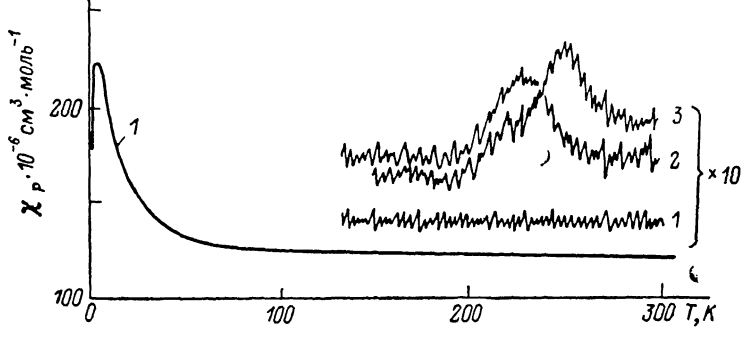


Рис. 1. Температурная зависимость магнитной восприимчивости: 1 — в исходном монокристалле $\text{La}_2\text{CuO}_{4+x}$ (метод весов Фарадея); 2, 3 — в отожженном монокристалле (метод экранировки).

Измерения температурной зависимости магнитной восприимчивости χ (T) исследовавшихся образцов показали (рис. 1), что χ монотонно растет с уменьшением температуры (в области $T < 300 \text{ K}$), а при $T=8 \text{ K}$ наблюдался максимум. При дальнейшем уменьшении $T < 8 \text{ K}$ магнитная восприимчивость резко уменьшилась. Судя по резистивным свойствам, сверхпроводящего состояния при этом не возникает. Поэтому резкое падение χ (T) при низких T скорее свидетельствует о переходе образца в антиферромагнитное состояние с температурой Нееля $T_N \approx 8 \text{ K}$. В соответствии с [6, 7] в стехиометрическом La_2CuO_4 температура Нееля $T_N \approx 200 \text{ K}$ и монотонно уменьшается с увеличением содержания кислорода, приближаясь к нулевой температуре при $x \approx 0.04$. Таким образом, на основании этих результатов можно заключить, что исходные монокристаллы $\text{La}_2\text{CuO}_{4+x}$ имели повышенное содержание кислорода, $x \approx 0.04$.

В результате низкотемпературного отжига монокристаллов при 300 К в вакууме в течение нескольких суток (отжиг сопровождался периодическими охлаждениями до 77 К для измерения температурной зависимости спектров отражения) в зависимости χ (T) появился характерный максимум, аналогичный [8, 9], при $T_N = 220 \pm 5 \text{ K}$, который смешался к $T_N = 250 \pm 5 \text{ K}$ с увеличением времени отжига (рис. 1, 2, 3). В отожженных кристаллах максимум χ (T) при $T_N = 8 \text{ K}$ оставался доминирующим. В соответствии с [6-9] появление слабых максимумов при 220 и 250 К в результате отжигов можно объяснить частичным удалением кислорода из приповерхностной области образцов и соответственноышением T_N в этих участках кристаллов.

Измерение χ (T) проводилось методом Фарадея, а также модифицированным методом экранировки.

2. Экспериментальные результаты и их обсуждение

1) Анизотропия спектров отражения $\text{La}_2\text{CuO}_{4+x}$. На рис. 2 показано увеличенное изображение базисной поверхности кристалла (001). Обнаружены морфологические особенности в виде круглых «бляшек» со средним диаметром 150 мкм, выступающих над зеркально-гладкой



Рис. 2. Увеличенное изображение базисной поверхности (001) образца $\text{La}_2\text{CuO}_{4+x}$.

кой поверхностью. С помощью ИК микроскопа было установлено, что в спектральном диапазоне 500—6000 см^{-1} спектры отражения гладкой поверхности и «бляшек» идентичны. Это позволяет предположить, что обнаруженные особенности имеют спектр, идентичный спектру зеркально-гладкой поверхности и в диапазоне 50—5500 см^{-1} .

На рис. 3 показан спектр отражения от базисной поверхности образца (область с характерными размерами порядка нескольких миллиметров).

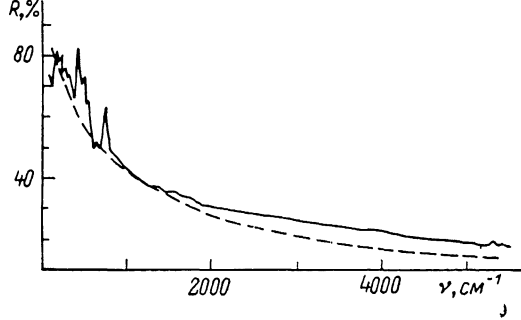


Рис. 3. Спектр нормального отражения от базисной поверхности (001) $\text{La}_2\text{CuO}_{4+x}$. $T=300 \text{ К}$.

Спектр отражения поверхностью (001) ($\mathbf{q} \parallel \mathbf{c}$, $\mathbf{E} \perp \mathbf{c}$) демонстрирует поведение, соответствующее отражению свободными носителями, а именно при ν , стремящемся к нулю, отражение имеет предельную величину, соответствующую конечной электронной проводимости, а затем, с ростом ν , отражение монотонно уменьшается. Спектр отражения от базисной плоскости (рис. 3) удается удовлетворительно описать в рамках приближения Друде (отражение свободными носителями) $\epsilon = \epsilon_{\infty} - \nu_p^2 / \nu (\nu + i\gamma)$ при следующих параметрах: плазменная частота $\nu_p = 12\,000 \text{ см}^{-1}$, проницаемость $\epsilon_{\infty} \approx 5$, затухание $\gamma \approx 11\,000 \text{ см}^{-1}$. Превышение экспериментально наблюдаемого отражения над приближением Друде (штриховая кривая на рис. 3) можно объяснить наличием электронного перехода $\hbar\omega \approx 0.5 \text{ эВ}$.

В спектральном диапазоне 500—5000 см^{-1} мы исследовали угловую зависимость спектров отражения линейно-поляризованного света. Было установлено, что спектры отражения базисной плоскостью ($\mathbf{q} \parallel \mathbf{c}$, $\mathbf{E} \perp \mathbf{c}$;

см. обозначения рис. 6) аналогичны спектру рис. 3 и изотропны. Возможно, это связано с наличием двойников, обеспечивающих эффективное усреднение возможной анизотропии относительно осей a и b при регистрации спектра отражения от области кристалла, содержащей большое количество

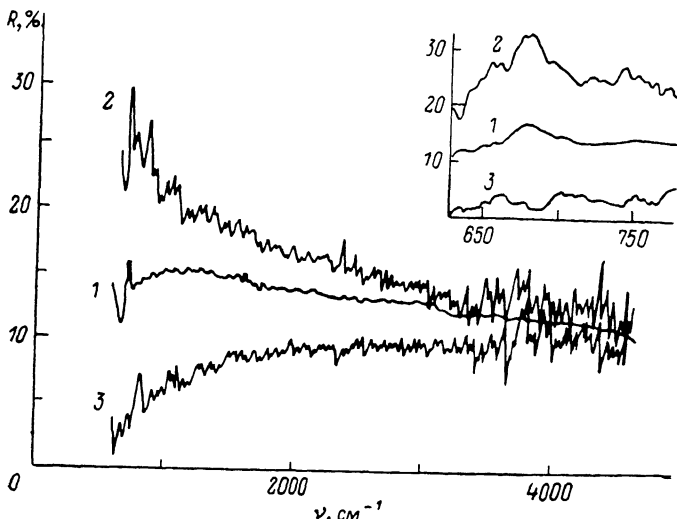


Рис. 4. Спектры отражения линейно-поляризованного света от поверхности, параллельной оси c с монокристалла $\text{La}_2\text{CuO}_{4+x}$. $T=300$ К.
1 — спектр отражения неполяризованного света (волновой вектор $\mathbf{q} \perp \mathbf{c}$); 2, 3 — $E \perp c$ и $E \parallel c$ соответственно.

двойников. В то же время отражение света плоскостью, перпендикулярной базисной, анизотропно (рис. 4). Спектр 3 ($\mathbf{q} \perp \mathbf{c}$, $E \parallel \mathbf{c}$) имеет вид, характерный для диэлектриков, тогда как монотонный рост коэффициента отражения света с уменьшением волнового числа ν в спектре 2 ($\mathbf{q} \perp \mathbf{c}$, $E \perp \mathbf{c}$), ана-

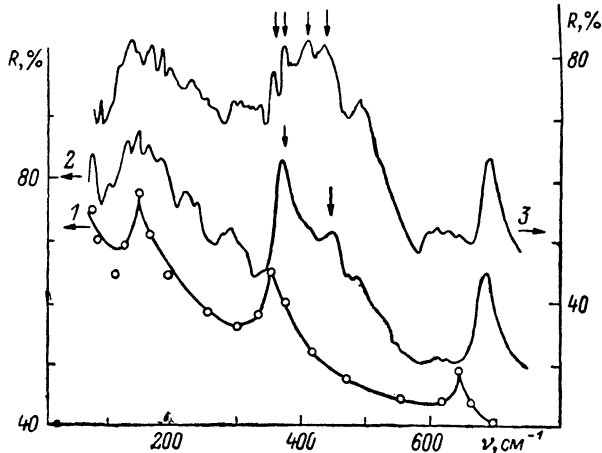


Рис. 5. Спектры отражения от базисной плоскости (001) в дальней ИК области.
1 — спектры La_2NiO_4 [4]; 2, 3 — $\text{La}_2\text{CuO}_{4+x}$ при $T=300$ (1, 2) и 77 К (3).

логичном спектру отражения от базисной плоскости (рис. 3), свидетельствует о большей высокочастотной электропроводности в плоскости ab по сравнению с направлением c . Наблюдаемая анизотропия качественно согласуется с результатами теоретических расчетов [9]. Более того, учитывая выводы работы [9], высокую электропроводность можно связать с преимущественным движением свободных носителей в купратной плоскости CuO_2 (1, 2) (см. рис. 6).

Возвращаясь к рис. 4, отметим, что в исследовавшемся спектральном диапазоне спектр \mathcal{Z} ($q \perp c$, $E \parallel c$) идентичен соответствующему спектру работы [3], что подтверждает вывод авторов данной работы о наличии электронных переходов в области $\hbar\omega \geq 0.5$ эВ в La_2CuO_4 .

2) Спектр фононов. В низкочастотной области спектра $\nu < 750 \text{ см}^{-1}$, где расположены линии оптических фононов, спектр отражения $\text{La}_2\text{CuO}_{4+x}$ при $T=300 \text{ K}$ (рис. 5, 2), как и спектр La_2NiO_4 [4] (рис. 5, 1), состоит из трех интенсивных линий, спектральные положения которых близки в кристаллах обоих типов. Аналогичные спектры уже наблюдались в монокристаллах La_2CuO_4 в [3]. Однако в спектральном диапазоне 350—650 cm^{-1} обнаружена слабо выраженная структура. С понижением температуры до 77 К (рис. 5, 3) эта структура становится отчетливой, при этом увеличивается количество линий в спектре отражения. В таблице приведены спектральные положения линий спектров рис. 5.

Известно, что La_2CuO_4 при $T > 530 \text{ K}$ имеет тетрагональную кристаллическую структуру типа K_2NiF_4 (D_{4h}^{17} , I_4/mmm). Примитивная ячейка включает в себя одну формульную единицу, т. е. содержит 7 атомов. При $36 \text{ K} < T < 530 \text{ K}$ La_2CuO_4 имеет орторомбическую структуру (точечная группа D_{2h}^{18}) [10, 11], которая в соответствии с [12] может трансформироваться в моноклинную при $T \leq 36 \text{ K}$. Многочисленные рентгеноструктурные и нейтронографические исследования свидетельствуют об удвоении объема элементарной ячейки La_2CuO_4 при переходе из тетрагональной фазы в орторомбическую. Однако конкретная структура орторомбической фазы остается предметом дискуссии [11, 13]: по-видимому, предпочтительной является модель гофрирования плоскости ab в результате наклона

Спектральное положение (cm^{-1})
максимумов линий спектров
отражения исследованных моно-
кристаллов

La_2NiO_4 [4]	$\text{La}_2\text{CuO}_{4+x}$	
300 К	300 К	77 К
646	683	691
	600	600
	520	520
	500	488
	445	432
356	370	405
		369
		354
146	145	145

октаэдров CuO_6 относительно тетрагональной оси b [1, 9–11], в то же время не исключена модель, основанная на изменении угла между тетрагональными осями a и b [11, 13]. Это затрудняет выполнение теоретико-группового анализа нормальных колебаний орторомбической фазы La_2CuO_4 . В ряде работ (например, [14, 15]) выполнен теоретико-групповой анализ нормальных колебаний в тетрагональной фазе La_2CuO_4 . Учитывая, что при $T=300 \text{ K}$ наиболее интенсивные линии спектра отражения орторомбического La_2CuO_4 идентичны линиям тетрагональных структур La_2NiO_4 , $\text{La}_{2-x}\text{Sr}_x\text{CuO}_4$, а также то, что орторомбическая структура является фактически очень слабым искажением тетрагональной фазы (отношение параметров решетки $a/b=1.009$), результаты имеющегося теоретико-группового анализа могут быть применены для классификации основных, наиболее интенсивных, линий спектра фононов орторомбического La_2CuO_4 . В примитивной ячейке тетрагонального La_2CuO_4 7 атомов, поэтому колебательный спектр содержит 21 моду: три ($A_{2u}+E_u$) акустические, определяемые движением атомов меди, и 18 оптических мод. Согласно теоретико-групповому анализу [15], в спектрах комбинационного рассеяния света могут наблюдаться две полносимметричные моды A_{1g} и две двукратновырожденные моды E_g . Так как кристалл обладает центром симметрии, эти колебания не должны проявиться в ИК спектрах. Учитывая, что «молчащая» мода B_{2u} также неактивна в ИК спектре, следует, что в спектрах ИК отражения могут проявиться 3 моды симметрии A_{2u} и 4 двукратновырожденные моды E_u . A_{2u} моды определяются смещениями атомов вдоль оси c ; E_u моды являются планарными колебаниями в плоскости (001). Так как мы исследовали нормальное отражение света от базисной плоскости (001), в спектре отражения тетрагонального La_2CuO_4 могут на-

блудятся $4E_u$ двукратновырожденные моды, схематически изображенные на рис. 6: одна мода связана с планарным колебанием La; одно деформационное колебание определяется движением кислорода O (3); оставшиеся две моды обусловлены деформационными и валентными колебаниями O (1, 2) соответственно.

В результате измерения поляризационной зависимости спектров отражения (см. вставку к рис. 4) было установлено, что линия 683 см^{-1} возбуждается только в поляризации $E \perp c$; следовательно, она соответствует планарным колебаниям симметрии E_u . Так как данная линия является наиболее высокочастотной, мы считаем, что среди возможных нормальных колебаний (рис. 6) линии 683 см^{-1} соответствуют валентное колебание атомов кислорода O (1, 2) в базисной плоскости (001), а самой низкочастотной линии 145 см^{-1} — деформационные E_u колебания наиболее тяжелых атомов La. Частота деформационных колебаний обычно в 1.5—2 раза ниже частот валентных колебаний тех же атомов. Поэтому оставшиеся два двукратновырожденных колебания атомов кислорода (рис. 6) естественно связать с линиями 370 и 445 см^{-1} . Причем линия 370 см^{-1} определя-

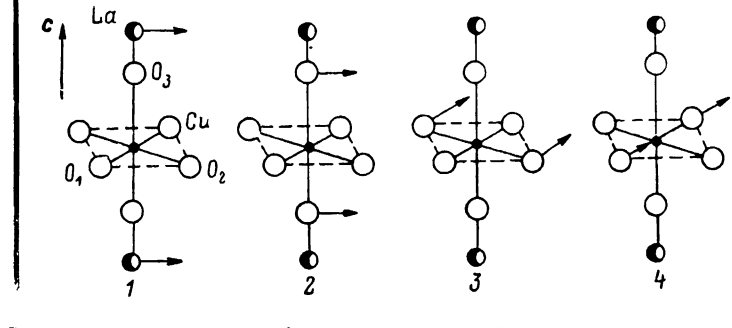


Рис. 6. Схема нормальных колебаний симметрии E_u в тетрагональном La_2CuO_4 и соответствующие им частоты при $T=300 \text{ K}$ (в скобках — при $T=77 \text{ K}$).

1 — 140 (140), 2 — 370 (369 , 354), 3 — 445 (432 , 405), 4 — 683 (691).

ется деформационными колебаниями O (3), а 445 см^{-1} — O (1, 2), так как длина связи d атомов Cu—O (3) в 1.26 раза больше длины связей CuO (1, 2). В пользу такого отнесения колебаний свидетельствует удовлетворительное согласие отношения частот этих линий с оценкой на основе соотношения $v \sim d^{-4}$. Такая оценка несомненно является грубым приближением, не исключена возможность иного спектрального положения деформационного колебания O (1, 2). Как отмечалось выше, купрятная плоскость CuO_2 (1, 2), по-видимому, содержит высокую концентрацию свободных носителей, и в соответствии с [16] электронные и колебательные движения в этой плоскости могут отличаться большой константой электрон-фононной связи. Поэтому можно ожидать, что при прочих равных условиях линия спектра отражения, соответствующая деформационным колебаниям атомов O (1, 2), будет иметь большую ширину и меньшую интенсивность по сравнению с линией, определяемой деформационным колебанием атомов O (3). Из рис. 4, 2 видно, что именно такое соотношение наблюдается для линий 445 и 370 см^{-1} .

Помимо рассмотренных линий, при $T=300 \text{ K}$ обнаружены сравнительно слабые линии 500 , 520 , 600 см^{-1} . Наличие этих линий можно связать с тем, что в исследовавшемся диапазоне температур La_2CuO_4 имеет не тетрагональную, а орторомбическую структуру. В соответствии с [1, 9, 10] переход из тетрагональной фазы в орторомбическую происходит путем поворота октаэдров CuO_6 относительно псевдотетрагональной оси b на угол, составляющий с направлением [001] примерно 3° при 300 K . При этом объем примитивной ячейки удваивается и, помимо снятия вырождения мод E_u тетрагональной фазы, при переходе в орторомбическую возможно появление дополнительных линий в спектре ИК отражения,

так как моды с бриллюэновскими импульсами в тетрагональной фазе, оказываются после удвоения объема элементарной ячейки в Г-точке и поэтому могут проявиться в ИК спектрах.

Зависимость спектров отражения от температуры в диапазоне 300—77 К. Из рис. 5 видно, что при $T=77$ К вместо линий 370 и 445 cm^{-1} ($T=300$ К) появляются линии 354, 369 cm^{-1} и 405, 432 cm^{-1} . Такое изменение спектра фононов можно было бы объяснить увеличением недектируемого при 300 К расщепления линий 370 и 445 cm^{-1} при уменьшении температуры до 77 К, так как известно, что степень орторомбичности La_2CuO_4 при этом монотонно возрастает [7]. Однако в таком случае можно было ожидать появления аналогичной структуры на месте остальных линий спектра, например, в области лв-

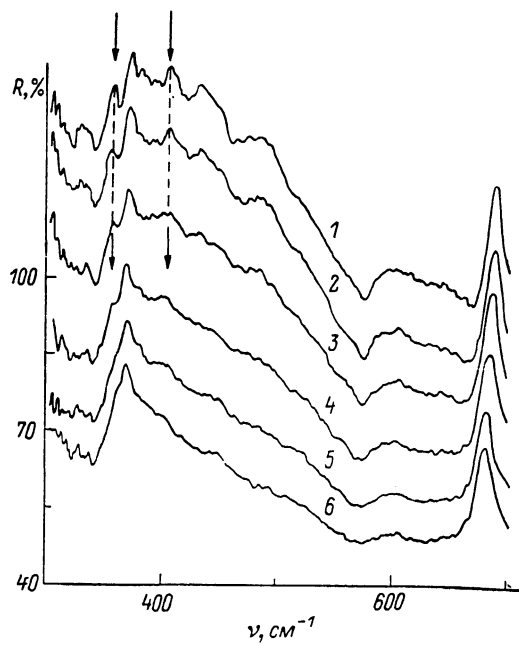


Рис. 7. Температурная зависимость спектров отражения от базисной поверхности La_2CuO_4 .

$T, \text{K}: 1 - 77, 2 - 100, 3 - 150, 4 - 200, 5 - 250, 6 - 300$. Для спектра с номером $n=1-6$ масштаб по оси y определяется соотношением $y=R-10(n-6)$.

ни 683 cm^{-1} , которая просто смещается в высокогенергетическую сторону примерно на 8 cm^{-1} с уменьшением температуры от 300 до 77 К. Более того, исследование температурной зависимости спектров отражения (рис. 7) показало, что в результате низкотемпературного отжига образцов при 300 К в вакуумной полости проточного криостата, использовавшегося для измерения температурной зависимости спектров, слабые следы линий 354 и 405 cm^{-1} появляются и при 300 К в отличие от спектра исходного неотожженного образца (рис. 5, 2). При этом спектральное положение новых линий относительно линий 370 и 445 cm^{-1} остается практически неизменным с понижением температуры, тогда как отношение параметров кристаллической решетки b/a , характеризующее степень орторомбичности, возрастает от 1.009 до 1.016 с уменьшением температуры от 300 до 77 К [11]. Таким образом, слабую температурную зависимость расщепления линий спектра, по-видимому, нельзя объяснить в приближении снятия вырождения в орторомбической фазе. Причиной перестройки спектра могло быть изменение кристаллической структуры, однако известно, что в интервале температур 300—77 К в La_2CuO_4 не происходит структурного фазового перехода [12].

Анализ температурной зависимости спектров отражения позволяет предположить, что перестройка спектра отражения может быть связана

с фазовым переходом в электронной подсистеме кристалла, а именно с переходом кристалла в антиферромагнитное состояние. Из рис. 7 видно, что амплитуды линий 354 и 405 см⁻¹ практически не меняются при $T > 230$ К и интенсивно возрастают с уменьшением температуры, начиная с $T_0 = 220 \pm 5$ К. Измерение температурной зависимости магнитной восприимчивости $\chi(T)$ в данном кристалле показало наличие максимума, характерного для перехода образца в антиферромагнитное состояние, при $T_N = 220 \pm 5$ К (рис. 1, 1). Более того, последующий отжиг кристалла в вакууме при 300 К в течение нескольких суток привел к повышению T_0 , при которой происходит перестройка спектра отражения, и T_N до 250 ± 5 К. Таким образом, результаты оптических и магнитных измерений свидетельствуют о влиянии антиферромагнитного перехода на спектр фононов.

Как отмечалось выше, линии 445 и 370 см⁻¹ ($T = 300$ К) определяются синфазными деформационными колебаниями атомов кислорода О (1, 2) и О (3) соответственно (рис. 6). Линии 405 и 354 см⁻¹, по-видимому, являются аналогичными колебаниями тех же атомов, а их появление в спектре отражения обусловлено снятием вырождения вследствие взаимодействия этих колебаний с упорядоченной системой спинов медной подрешетки кристалла.

Упорядочение спинов при антиферромагнитном переходе может проявиться в спектре фононов, по-видимому, только при достаточно сильном электрон-фононном взаимодействии. Как отмечалось выше, такое взаимодействие максимально в купратной плоскости CuO₂ (1, 2), поэтому максимальное расщепление наблюдается для деформационных колебаний О (1, 2) (~ 445 см⁻¹ при 300 К) и составляет 27 см⁻¹ при 77 К. Расщепление линии 370 см⁻¹ примерно в два раза меньше 15 см⁻¹, что можно объяснить меньшей величиной константы электрон-фононного взаимодействия для деформационных колебаний О (3). Меньшая величина константы в этом случае, по-видимому, определяется более слабым перекрытием волновых функций Cu и O (3) по сравнению с Cu—O (1, 2) вследствие различия межатомных расстояний (отношение соответствующих расстояний составляет 1.28).

В заключение отметим, что проявление линий 354, 405 см⁻¹ в спектре отражения отожженных кристаллов при 300 К можно объяснить антиферромагнитными флуктуациями при $T > T_N$, вероятность появления которых тем больше, чем ближе T к T_N . Поэтому отсутствие этих линий в спектре исходного кристалла при 300 К можно объяснить тем, что в нем $T_N = -8$ К, т. е. много меньше 300 К, в отличие от случая отожженного кристалла ($T_N = 220 \pm 250$ К).

Авторы выражают благодарность В. А. Мержанову и А. И. Шалынину за измерения магнитной восприимчивости.

Список литературы

- [1] Orenstein J., Thomas G. A., Bapkine D. H., Bethea C. G., Zevine B. F., Cava R. J., Cooper A. S., Johnson D. W. Jr., Remeika J. P., Rietman E. A. // Proceedings of the International Workshop on Novel Superconductivity. Berkeley, 1987. P. 693—698.
- [2] Schlesinger Z., Collins R. T., Kaiser D. L., Holtzberg F. // Phys. Rev. Lett. 1987. V. 59. N 17. P. 1958—1961.
- [3] Schlesinger Z., Collins R. T., Kaiser D. L., Holtzberg F., Chandrashekhar G. V., Shafer M. W., Plaskett T. M. // Physica C. 1988. V. 153—155. P. 1734—1739.
- [4] Bassat J.-M., Odier P., Gervais F. // Phys. Rev. B. 1988. V. 35. N 13. P. 7126—7128.
- [5] Weber W. // Preprint to be published in Proc. Int. Discussion Meeting on HTc Superconductors. Schloss Manteedorf. Austria, 1988.
- [6] Shirane G. // Int. Conference on HTc Superconductors. Santa-Barbara, USA, 1987.
- [7] Tanaka S. // Int. Conference on HTc Superconductors. Singapore, 1988.
- [8] Yamada K., Kudo E., Endoh Y., Hidaka Y., Oda M., Suzuki M., Murakami T. // Sol. St. Comm. 1987. V. 64. N 5. P. 753—756.
- [9] Vaknin D., Sinha S. K., Moncton D. E., Johnston D. C., Newsam J. M., Saifinga C. R., King H. E. // Phys. Rev. Lett. 1987. V. 58. N 26. P. 2802—2805.

- [10] Shannon R. D. // Acta Cryst. A. 1976. V. 32. N 5. P. 751—767.
- [11] Kajitani T., Onozuka T., Yamaguchi Y., Hirabayashi M., Syono Y. // Jap. J. Appl. Phys. 1987. V. 26. N 11. P. L1877—L1880.
- [12] Skelton E. F., Elam W. T., Gubser D. V., Letourneau V., Osofsky M. S., Qadri S. B., Toth L. E., Wolf S. A. // Phys. Rev. B. 1987. V. 36. N 10. P. 5713—5715.
- [13] Zhang M., Tao R., Zhou S. // Chinese Phys. Lett. 1988. V. 5. N 4. P. 149—152.
- [14] Brun T., Grimsditch M., Gray K. E., Bhadra R., Maroni V., Loong C.-K. // Phys. Rev. B. 1987. V. 35. N 16. P. 8837—8839.
- [15] Burns G., Dacol F. H., Khiche G., König W., Shafer M. W. // Phys. Rev. B. 1988. V. 37. N 7. P. 3381—3388.
- [16] Мазин И. И., Максимов Е. Т., Ракшеев С. Н., Саврасов С. Ю., Успенский Ю. А. // Письма в ЖЭТФ. 1987. Т. 46. Приложение. С. 120—123.

Институт физики твердого тела АН СССР
Черноголовка
Московская область
Национальная лаборатория Лос Аламос
США

Поступило в Редакцию
28 февраля 1989 г.
В окончательной редакции
25 мая 1989 г.